

高二地理试题

(考试时间：75 分钟 试卷总分 100 分)

第 I 卷 选择题

本卷 16 小题，每小题 4 分，共 48 分。每小题只有一个选项符合题目要求。

图 1 示意某太阳能公司测试的新式“追日型”太阳能发电设备，太阳能电池板可沿水平方向和竖直方向旋转，使太阳能电池板始终正对太阳，从而提高太阳能利用率。据此完成 1~2 小题。

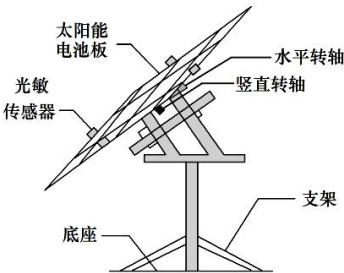


图 1

1. 新疆喀什某小区 ($39^{\circ}29'N$, $75^{\circ}59'E$) 安装了该设备，某日北京时间 13 时，该太阳能电池板的朝向大致是 ()
- A. 西南 B. 东南 C. 正南 D. 东北
2. 与福建相比，新疆的“追日型”太阳能发电设备在夏至日内 ()
- A. 垂直转动角度较大，水平转动角度较大
- B. 垂直转动角度较大，水平转动角度较小
- C. 垂直转动角度较小，水平转动角度较大
- D. 垂直转动角度较小，水平转动角度较小

2024 年夏季奥运会开幕式于 7 月 26 日 19 时 30 分 (北京时间为 7 月 27 日 1 时 30 分) 在巴黎 ($48^{\circ}52'N$) 开始。表 1 为乒乓球具体赛程表。据此完成 3~4 小题。

表 1 乒乓球赛程表

| 日期 | 比赛时间(巴黎时间) | 项目 |
|----------|---------------|-------|
| 7 月 29 日 | 13: 00—15: 00 | 混双半决赛 |
| 7 月 29 日 | 17: 00—20: 00 | 男单比赛 |
| 7 月 30 日 | 7: 00—9: 00 | 女单比赛 |
| 7 月 30 日 | 10: 00—13: 00 | 混双决赛 |

3. 为了不影响工作和休息，宁德市乒乓球球迷选择北京时间 19 时~22 时观看直播比赛，最适宜选择的比赛项目 ()
- A. 混双半决赛 B. 男单比赛 C. 女单比赛 D. 混双决赛
4. 混双决赛日，与北京相比巴黎 ()
- A. 昼夜变化幅度更小 B. 经历的黑夜时间更长
- C. 日出方位更偏南 D. 正午物体影子更长

鄱阳湖受季风气候影响，丰水期湖面辽阔；枯水期水流归槽成为赣江，如图2。图中沙岭沙山由松散沙粒组成。读图，完成5~6小题。

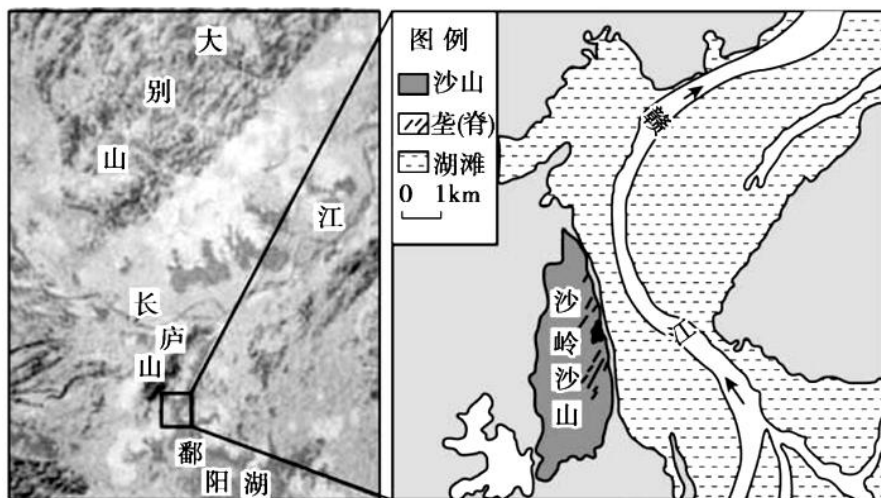


图2

5. 鄱阳湖畔沙山的沙源主要来自（ ）
- A. 庐山风化的物质 B. 长江携带的泥沙
- C. 枯水季节的湖滩 D. 周边地区的农田
6. 根据图中沙山的位置推测其形成的主导风向（ ）
- A. 西北风 B. 东南风 C. 东北风 D. 西南风

石绳（图3）又名绳状熔岩，是岩浆喷出地表，顺坡而下，冷却表皮受到内部尚未凝固仍在流动的岩浆的作用，沿流动方向呈弧形弯曲而成。图4为岩石圈物质循环示意图。据此完成7~8小题。



图3

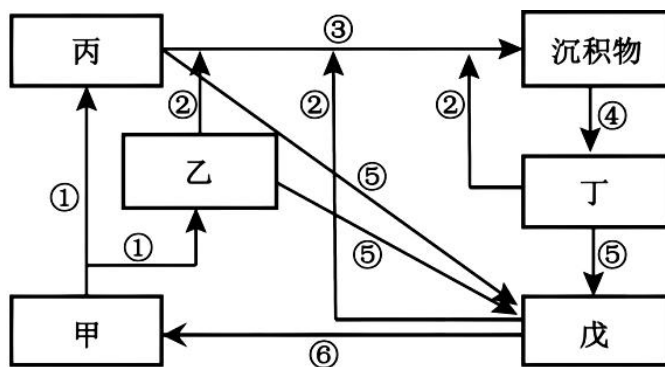


图4

7. 推测石绳内部可能有（ ）
- A. 层理构造 B. 片理构造 C. 冲刷构造 D. 气孔构造
8. 图4中能够正确反映石绳形成过程的是（ ）
- A. 甲-①-丙 B. 甲-①-乙 C. 乙-⑤-戊 D. 丁-⑤-戊

某地质考察队在某山区考察时，在冰缘区的陡崖坡脚地带发现了大量“倒石堆”（堆积在岩壁下方的石块碎屑物），如图 5 所示。据此完成 9~10 小题。

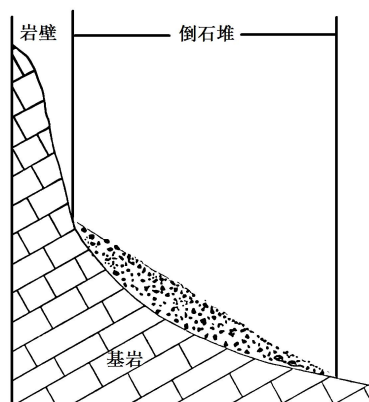


图 5

9. “倒石堆”坡顶、坡脚的石块碎屑物粒径分布特点是（ ）

- A. 坡顶大坡脚小
- B. 坡顶小坡脚大
- C. 大小混杂分布
- D. 粒径大小均一

10. 高山冰缘环境发育倒石堆的地质作用主要是（ ）

- A. 地壳抬升
- B. 流水堆积
- C. 风力侵蚀
- D. 冻融风化

锢囚锋是由冷锋追上暖锋或由两支冷锋迎面相遇将锋前的暖气团抬离地面，禁锢在高空形成的一种特殊锋面。冬半年，来自我国西北、东北的冷锋相遇，使得锋前的暖空气被抬升到高空，形成华北锢囚锋。图 6 示意亚洲部分地区某时刻的海平面气压、暴雪分布区。据此完成 11~12 小题。

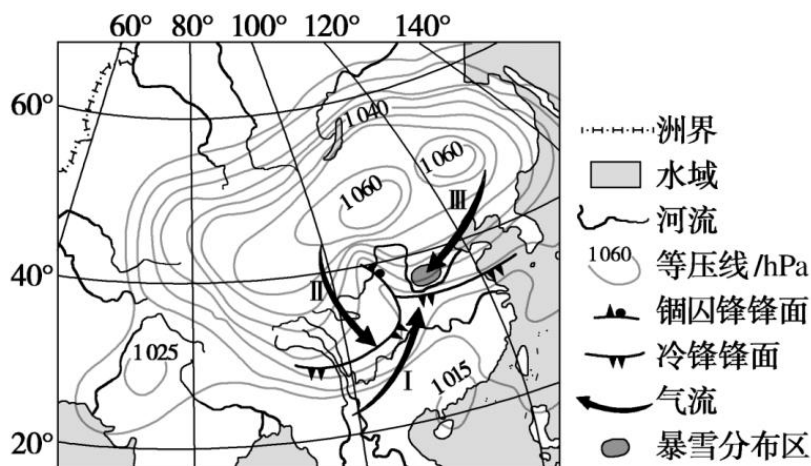


图 6

11. 华北锢囚锋发生几率最高的月份可能是（ ）

- A. 1 月
- B. 3 月
- C. 9 月
- D. 11 月

12. 此时，图中暴雪分布区的降雪特征（ ）

- A. 范围广、持续时间长
- B. 范围广、持续时间短
- C. 范围小、持续时间长
- D. 范围小、持续时间短

在对流层的中低层，风的辐合（水平气流的流速降低或流向变化造成气流聚集而产生的上升运动）、辐散（水平气流的流速增加或流向变化造成气流分散而产生的下沉运动）和水汽输送是影响天气和气候的重要因子。图7为1981~2010年中亚及周边地区中低层平均风场分布图。据此完成13~14小题。

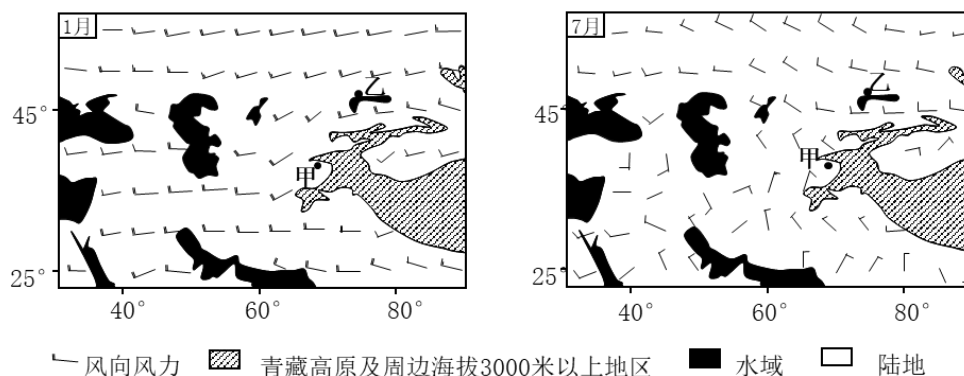
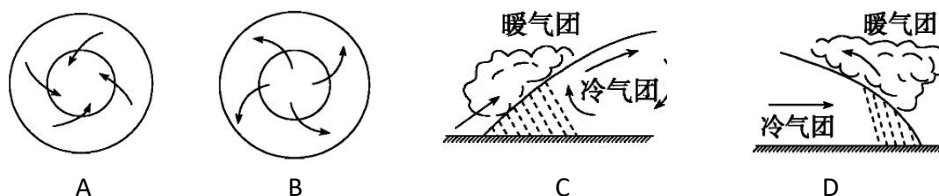


图7

13. 与每年7月甲地天气的形成原理相似的是（ ）



14. 与甲地相比，1月份乙地的降水特点及成因（ ）

- A. 降水较少 西风辐合不明显 B. 降水较少 西风辐合明显
C. 降水较多 西风辐合不明显 D. 降水较多 西风辐合明显

图8为甲、乙两地气候资料图。据此完成15~16小题。

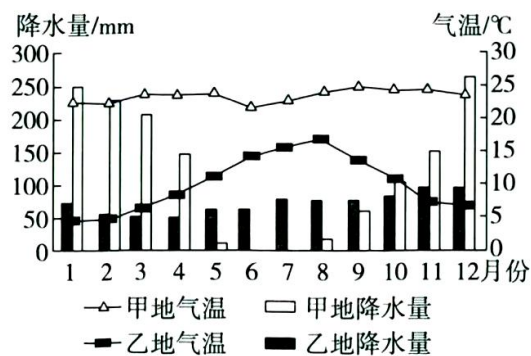


图8

15. 甲地10月至次年4月降水较多的原因是（ ）

- A. 受西风带南移的影响 B. 受东南信风北移偏转的影响
C. 受东北信风南移偏转的影响 D. 受赤道低压带北移的影响

16. 影响乙地气候的大气环流及与其自然景观相符合的是（ ）

- A. 赤道低压带 森林有茎花现象 B. 副热带高压带 地表沙丘广布
C. 东北信风带 动物季节性迁徙 D. 盛行西风带 树木季节性落叶

第II卷 非选择题

本卷3大题，共52分。

17. 阅读图文材料，完成下列要求。（10分）

材料一 秦岭站是我国第五个南极科考站，2024年2月7日，秦岭站建成并投入使用。

材料二 图9为我国南极科考站分布示意图。图中最外侧纬线圈为60°S，秦岭站建成当天太阳直射15°S。

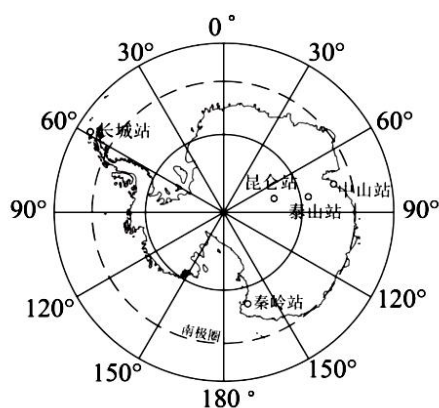


图9

- (1) 说出秦岭站投入使用当天，宁德市太阳方位的日变化，并说明理由。（6分）
- (2) 在上图画出北京时间14:00时的晨昏线（用斜线表示夜半球）。（4分）

18. 阅读图文材料，完成下列要求。（22分）

2021年4月以来，广东全省平均降水量较历史同期偏少58%。专家称，广东省本次干旱天气和拉尼娜现象密切相关。拉尼娜现象造成了西太平洋副高提前北移，使北半球高低纬之间大气环流生产明显变化。甲处水温较历史同期显著偏高。图10示意拉尼娜年太平洋水温 and 气压分布。

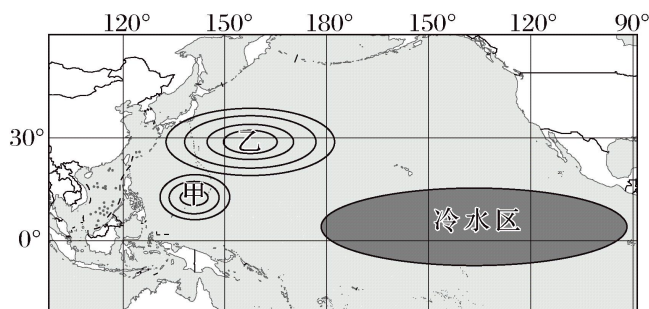


图10

- (1) 说出乙处的气压分布状况并分析其天气特征的成因。（6分）
- (2) 从温压关系的角度，分析4月以来广东全省平均降水量较历史同期偏少的原因。（4分）
- (3) 说明2021年冬季广东省冬装售卖增多的原因。（6分）
- (4) 受甲处气流运动状况的影响，推测我国南方夏秋季降水量及气温较常年的变化，并说明理由。（6分）

19. 阅读图文材料，完成下列要求。（20 分）

玛纳斯河山麓由南向北发育有多期冲积扇，不同时期形成的冲积扇之间有明显的阶梯状陡坎。玛纳斯河山前冲积扇地区第四纪活动断层发育。图 11 示意玛纳斯河山麓冲积扇的发展演变。

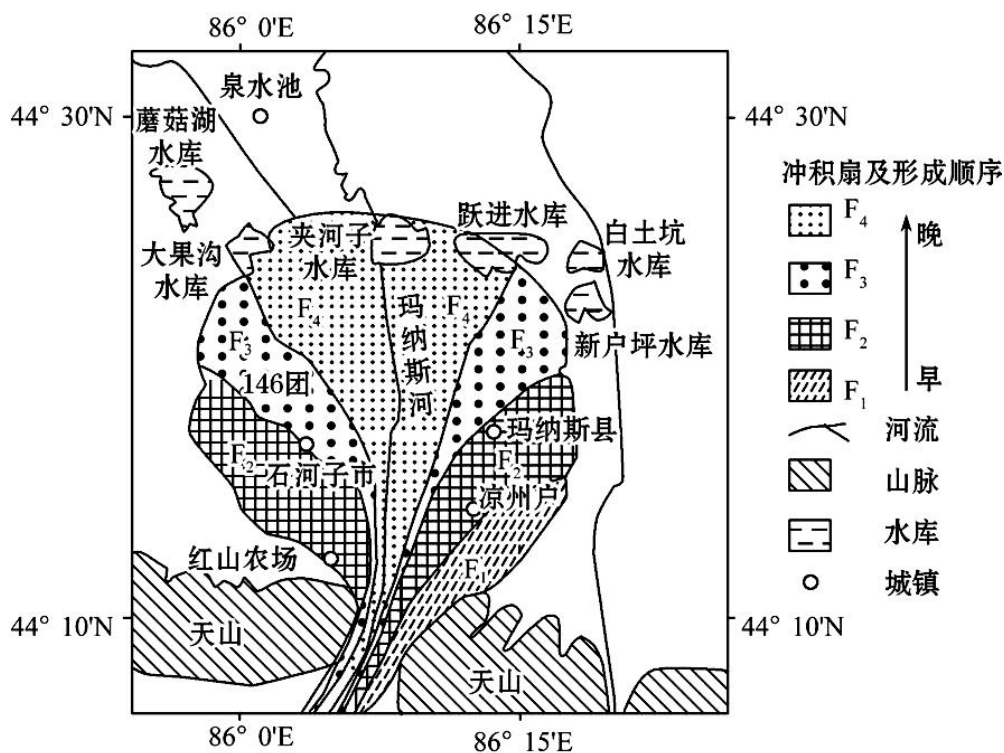


图 11

- (1) 根据不同时期冲积扇的位置和形态变化，推测玛纳斯河山麓冲积扇阶梯状陡坎的形成过程。（6 分）
- (2) 推测玛纳斯河左岸 F1 冲积扇缺失的原因。（6 分）
- (3) 分析玛纳斯河山麓冲积扇耕地北多南少的土壤、水分条件。（8 分）